



Institución
Universitaria
Reacreditada en Alta Calidad

Compresión de NNs - Pruning

INTEGRACIÓN DE ML EN EMBEBIDOS Y EDGE COMPUTING

Somos Innovación Tecnológica con *Sentido Humano*



Alcaldía de Medellín



Institución
Universitaria
Reacreditada en Alta Calidad

Contenido

1. Técnicas para compresión de redes neuronales
2. Pruning

Técnicas

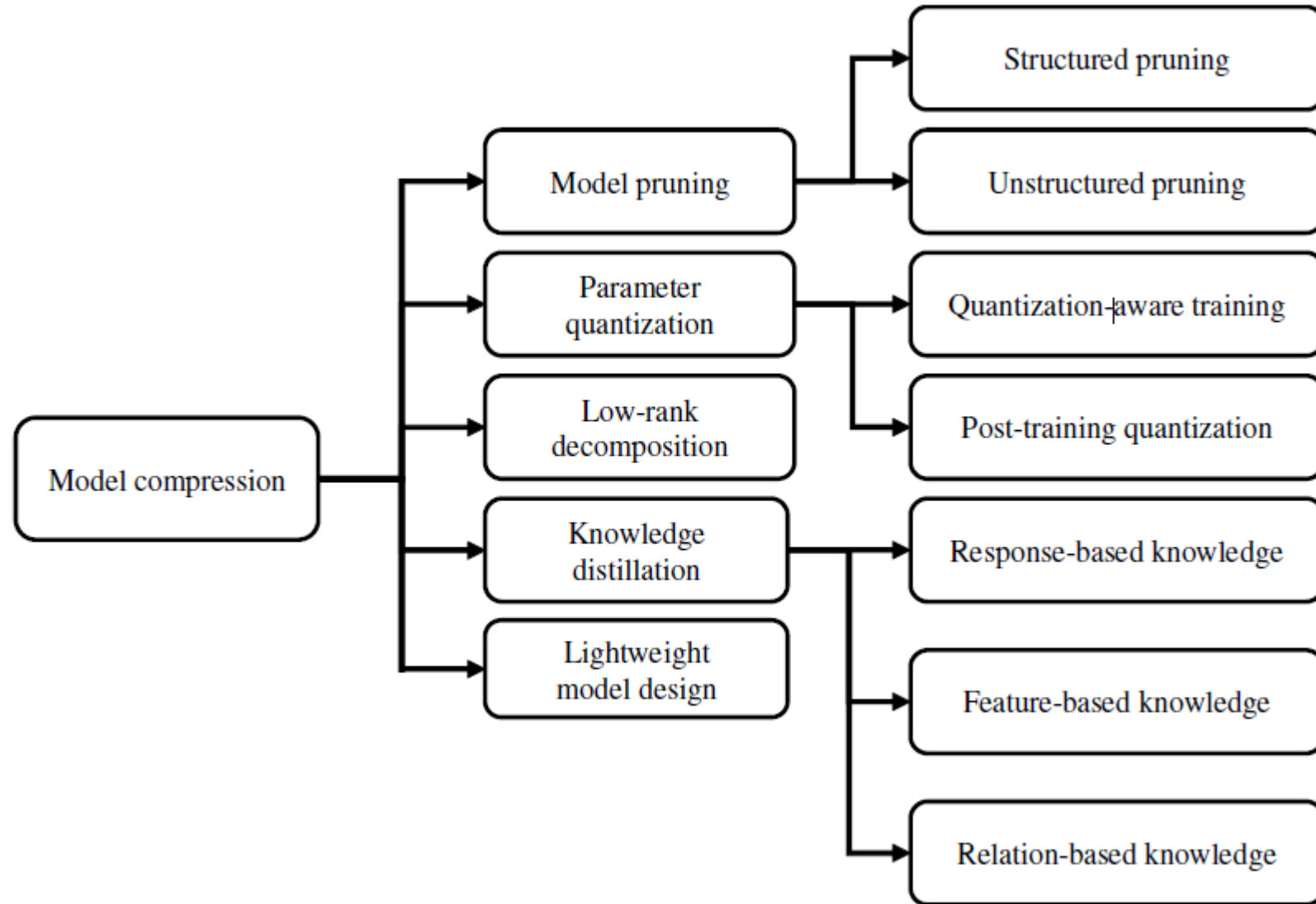
Podado del modelo (Model pruning): Diseño de criterios de evaluación de parámetros (pesos) para medir la importancia del parámetro. Remueve parámetros poco relevantes. Se aplica a capas Conv y FC.

Quantización: Convierte los calculos de punto flotante a calculos con enteros baja tasa de bits. Se aplica a capas Conv y FC.

Descomposiciones de rango bajo: Descompone los tensores originales en varios tensores de rango bajo. Se aplica a capas Conv.

Knowledge distillation: Usa una red grande de alta complejidad como maestra para enseñar a redes estudiantes de baja complejidad. . Se aplica a capas Conv y FC.

Técnicas





Institución
Universitaria
Reacreditada en Alta Calidad

Contenido

1. Técnicas para compresión de redes neuronales
2. Pruning

Pruning – Motivación

Age	Number of Connections	Stage
at birth	50 Trillion	newly formed
1 year old	1000 Trillion	peak
10 year old	500 Trillion	pruned and stabilized

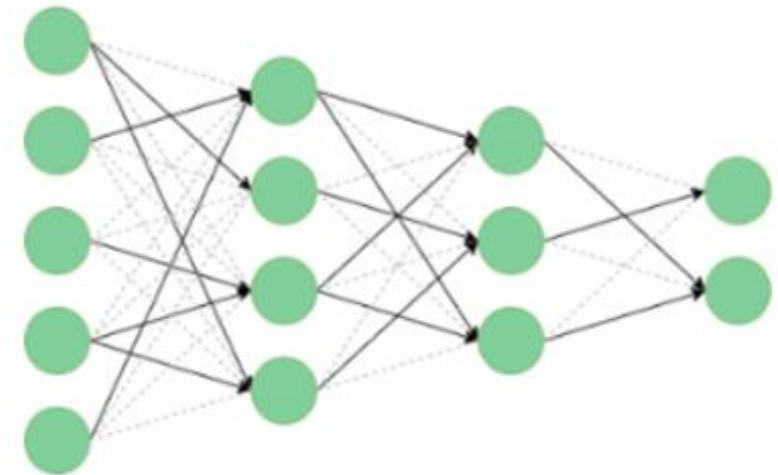
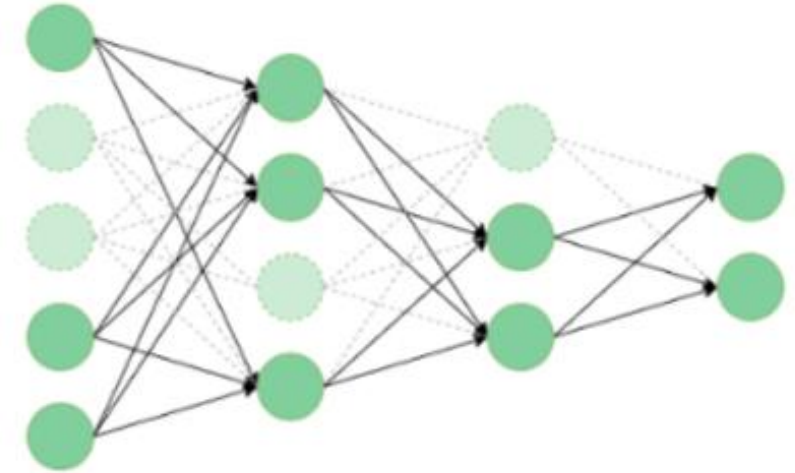
Table 1: The synapses pruning mechanism in human brain development

El mecanismo de podado remueve conexiones del cerebro que son redundantes.

Pruning – Tipos

Structured Pruning: involucre la remoción selectiva de una parte más grande de la red, como una capa o un canal.

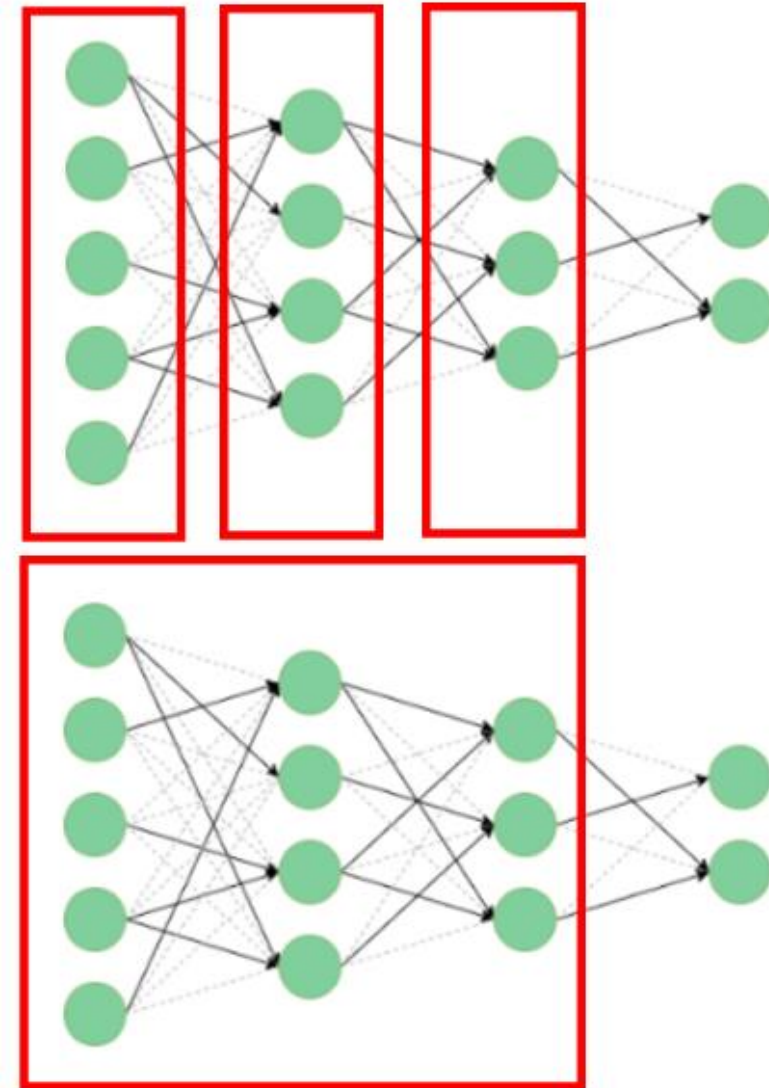
Unstructured Pruning: encuentra y remueve las conexiones menos destacadas del modelo donde quiera que estén. No considera cualquier relación entre los pesos podados.



Pruning – Local o Global

Local Pruning: Consiste en remover un porcentaje fijo de unidades/conexiones de cada capa por comparación en la capa.

Global Pruning: toma todos los parámetros juntos a través de las capas y selecciona una porción global de ellos a ser podados.

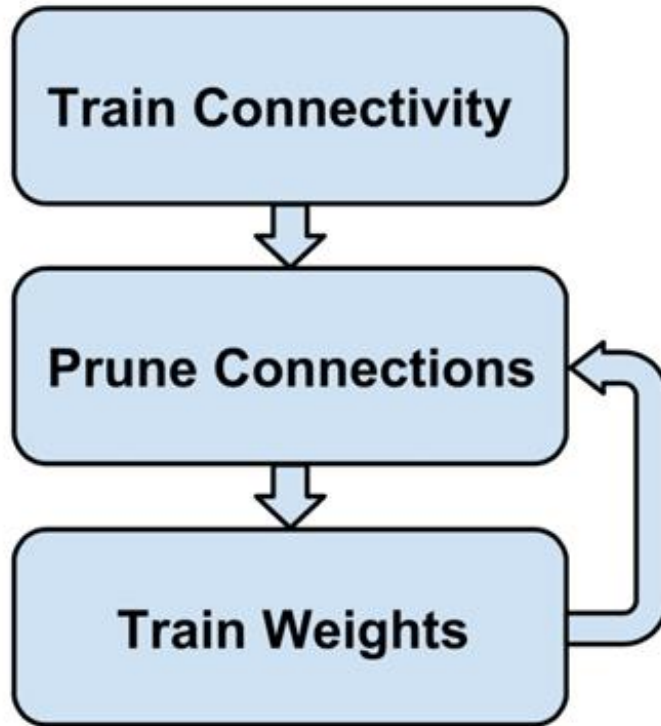


Pruning rate

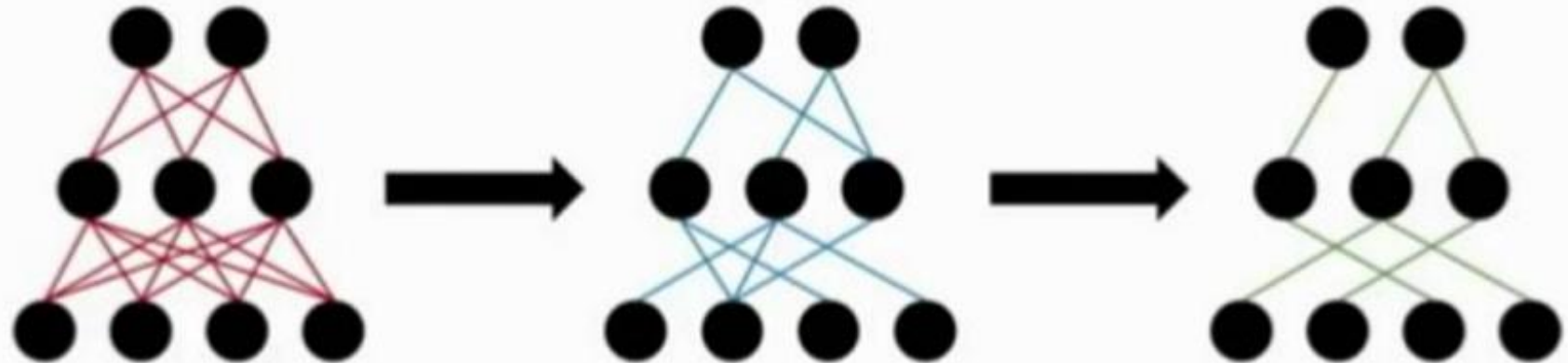
- $p\%$ es la tasa de podado (pruning rate)
- P_m es la dispersion de la red podada.

Ejemplo: $P_m = 25\%$ cuando $p\% = 75\%$ de los pesos son podados. En este caso, la tasa de compresión es $\frac{1}{P_m} = 4$.

Método basado en magnitud: podado iterativo y re-entrenar



- 1) Train the network
- 2) Remove superfluous structure
- 3) Fine-tune the network
- 4) Optionally: repeat steps 2 and 3 iteratively



Método basado en magnitud: podado iterativo y re-entrenar

Network	Top-1 Error	Top-5 Error	Parameters	Compression Rate
LeNet-300-100 Ref	1.64%	-	267K	12X
LeNet-300-100 Pruned	1.59%	-	22K	
LeNet-5 Ref	0.80%	-	431K	12X
LeNet-5 Pruned	0.77%	-	36K	
AlexNet Ref	42.78%	19.73%	61M	9X
AlexNet Pruned	42.77%	19.67%	6.7M	
VGG-16 Ref	31.50%	11.32%	138M	13X
VGG-16 Pruned	31.34%	10.88%	10.3M	

Lottery ticket hypothesis

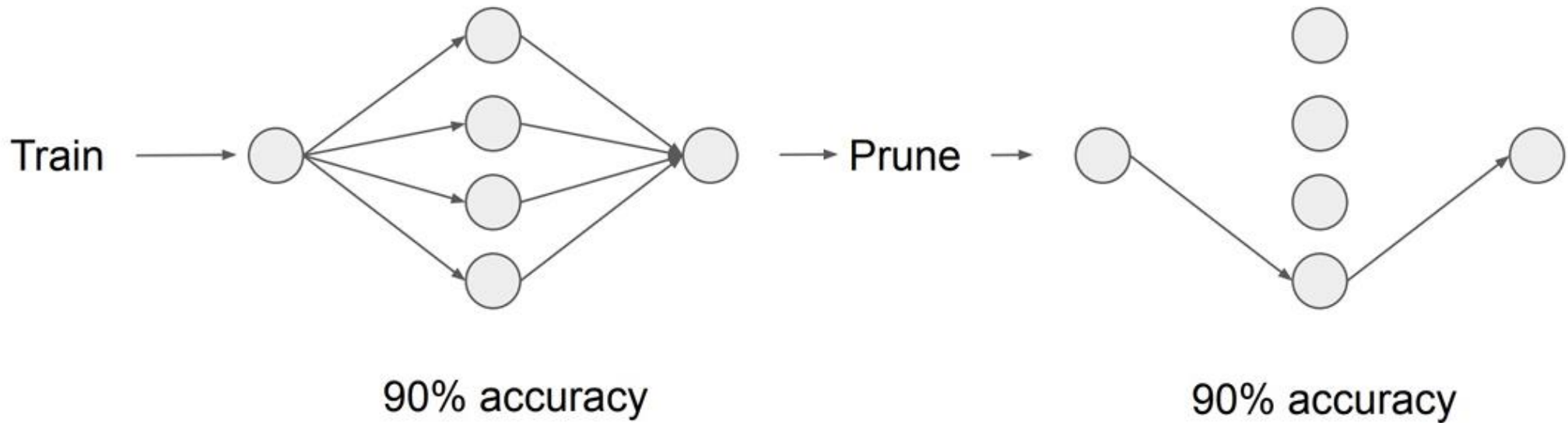


Jonathan Frankle
MIT CSAIL
jfrankle@csail.mit.edu

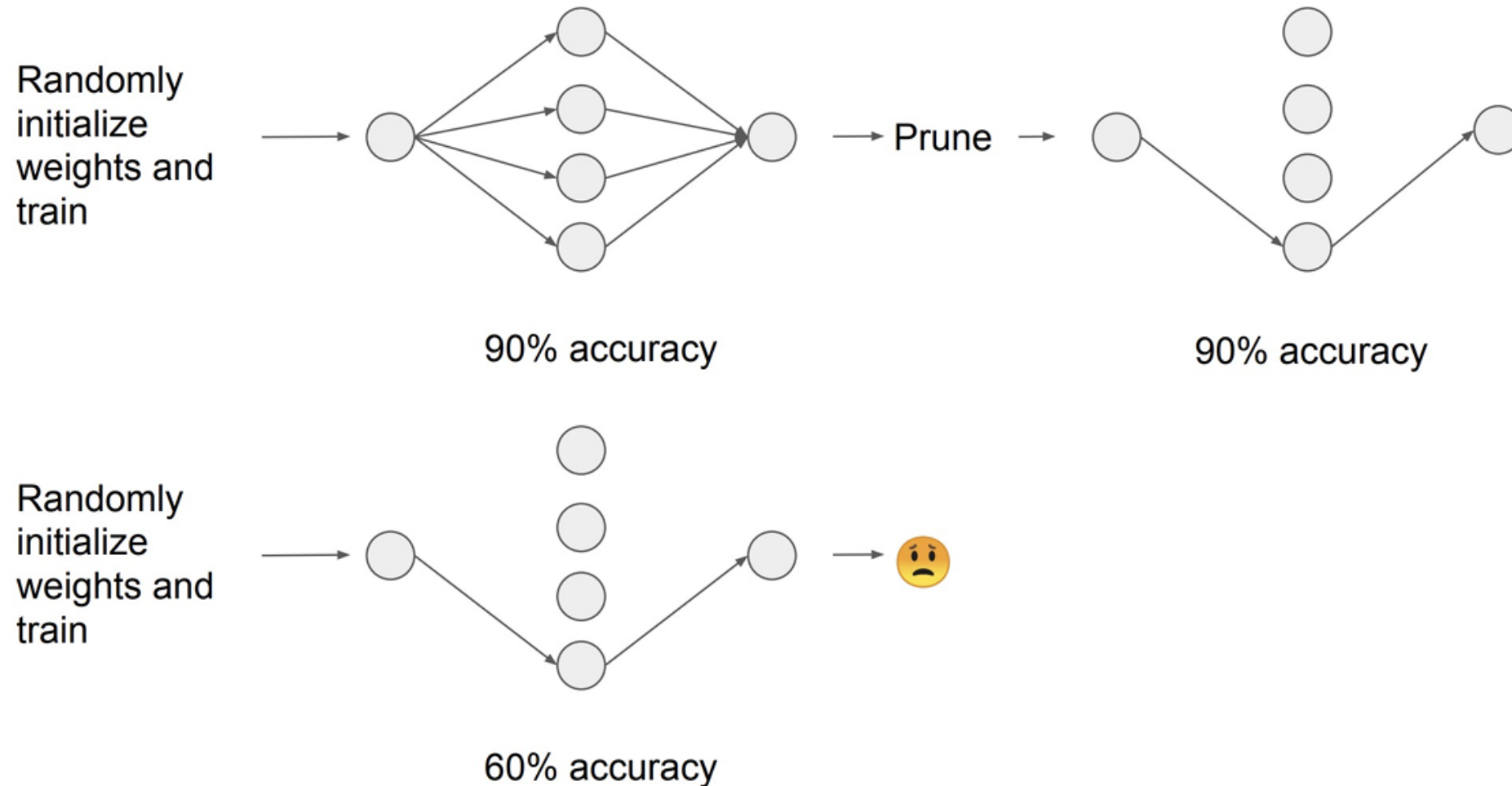
Michael Carbin
MIT CSAIL
mcarbin@csail.mit.edu

Lottery ticket hypothesis - motivación

Las técnicas de podado pueden reducir la cantidad de parámetros en un 90% sin perjudicar el acierto.



Lottery ticket hypothesis - motivación



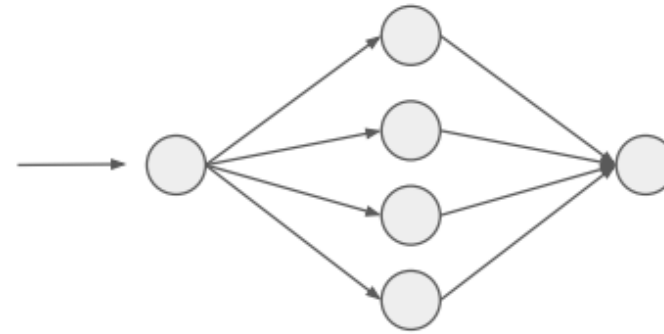


Lottery ticket hypothesis - motivación

A randomly-initialized, dense neural network contains a subnetwork that is initialized such that—when trained in isolation—it can match the test accuracy of the original network after training for at most the same number of iterations.

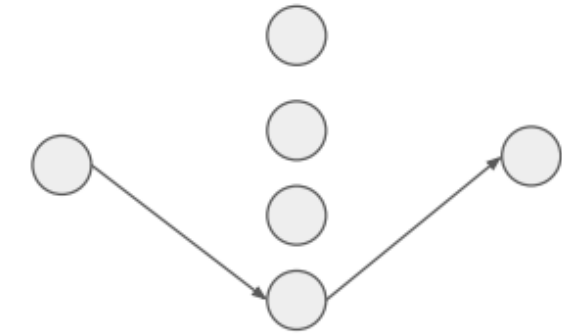
Lottery ticket hypothesis - motivación

Randomly
initialize
weights and
train



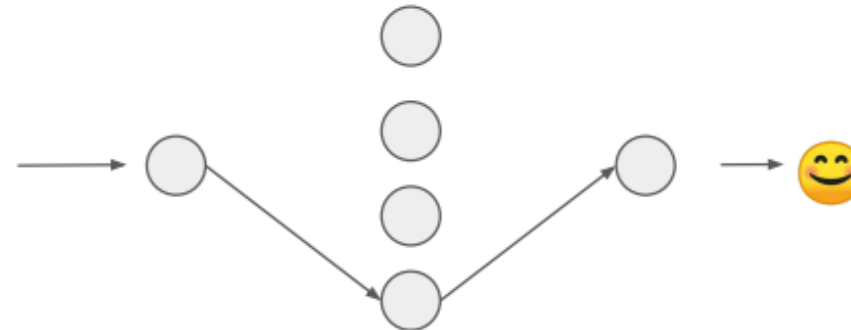
90% accuracy

→ Prune →



90% accuracy

Use same
weight
initialization
and train



90% accuracy

Lottery ticket hypothesis - motivación

- Si quieres ganar la lotería, solo debes comprar un montón de tickets y algunos probablemente ganarán.
- Comprar un monto de tickets = tener una red neuronal sobre-parametrizada para la tarea.
- Ganar la lotería = entrenar una red con un alto acierto.
- Ticket ganador = subred podada que alcanza un alto acierto.

Métodos de podado

- One-shot pruning:
 1. Randomly initialize a neural network $f(x; \theta_0)$, with initial parameters θ_0
 2. Train the network for j iterations, arriving at parameters θ_j
 3. Prune $p\%$ of the parameters in θ_j , creating a mask m
 4. Reset the remaining parameters to their value in θ_0 , creating the winning ticket $f(x; m \odot \theta_0)$.
- Iterative pruning:
 1. Randomly initialize a neural network $f(x; \theta_0)$, with initial parameters θ_0
 2. Train the network for j iterations, arriving at parameters θ_j
 3. Prune $p^{1/n}\%$ of the parameters in θ_j , creating a mask m
 4. Reset the remaining parameters to their value in θ_0 , creating network $f(x; m \odot \theta_0)$
 5. Repeat n times from 2
 6. Final network is a winning ticket $f(x; m \odot \theta_0)$.

Experimentos

- MLP for MNIST
- CNN for CIFAR10
- Ablation Study (dropout, weight decay, optimizer ...)

Network	Lenet	Conv-2	Conv-4	Conv-6	Resnet-18	VGG-19
				64, 64, pool	16, 3x[16, 16]	2x64 pool 2x128
			64, 64, pool	128, 128, pool	3x[32, 32]	pool, 4x256, pool
Convolutions		64, 64, pool	128, 128, pool	256, 256, pool	3x[64, 64]	4x512, pool, 4x512
FC Layers	300, 100, 10	256, 256, 10	256, 256, 10	256, 256, 10	avg-pool, 10	avg-pool, 10
All/Conv Weights	266K	4.3M / 38K	2.4M / 260K	1.7M / 1.1M	274K / 270K	20.0M
Iterations/Batch	50K / 60	20K / 60	25K / 60	30K / 60	30K / 128	112K / 64
Optimizer	Adam 1.2e-3	Adam 2e-4	Adam 3e-4	Adam 3e-4	← SGD 0.1-0.01-0.001 Momentum 0.9 →	
Pruning Rate	fc20%	conv10% fc20%	conv10% fc20%	conv15% fc20%	conv20% fc0%	conv20% fc0%

Resultados MLP – (LeNet)

Iterative Pruning

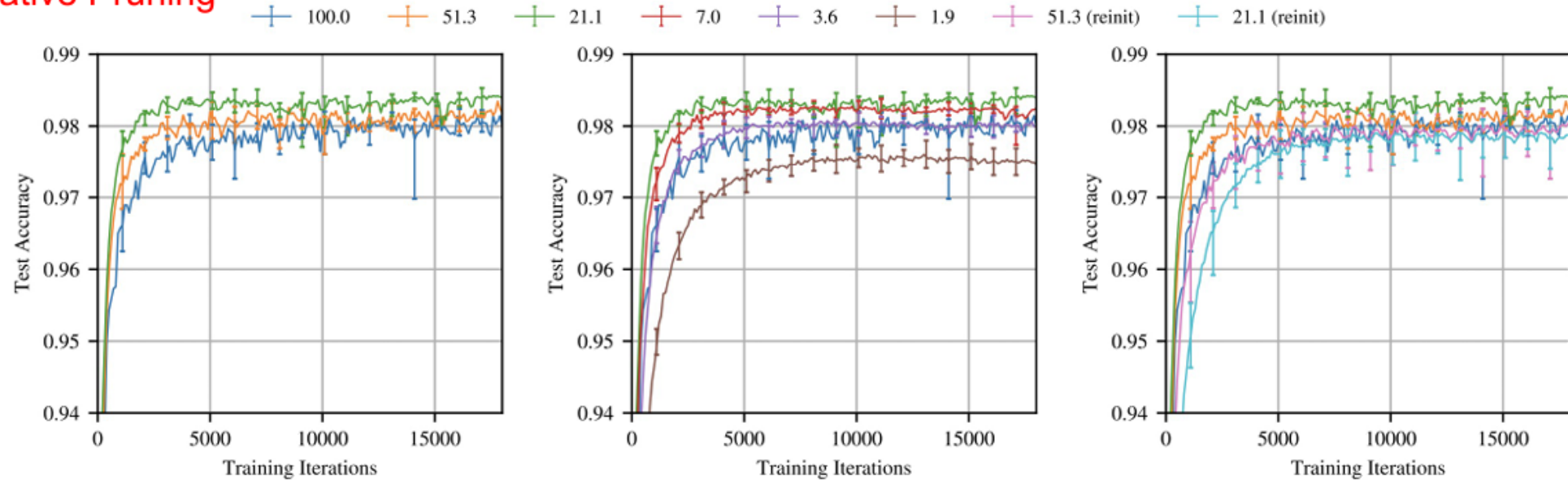


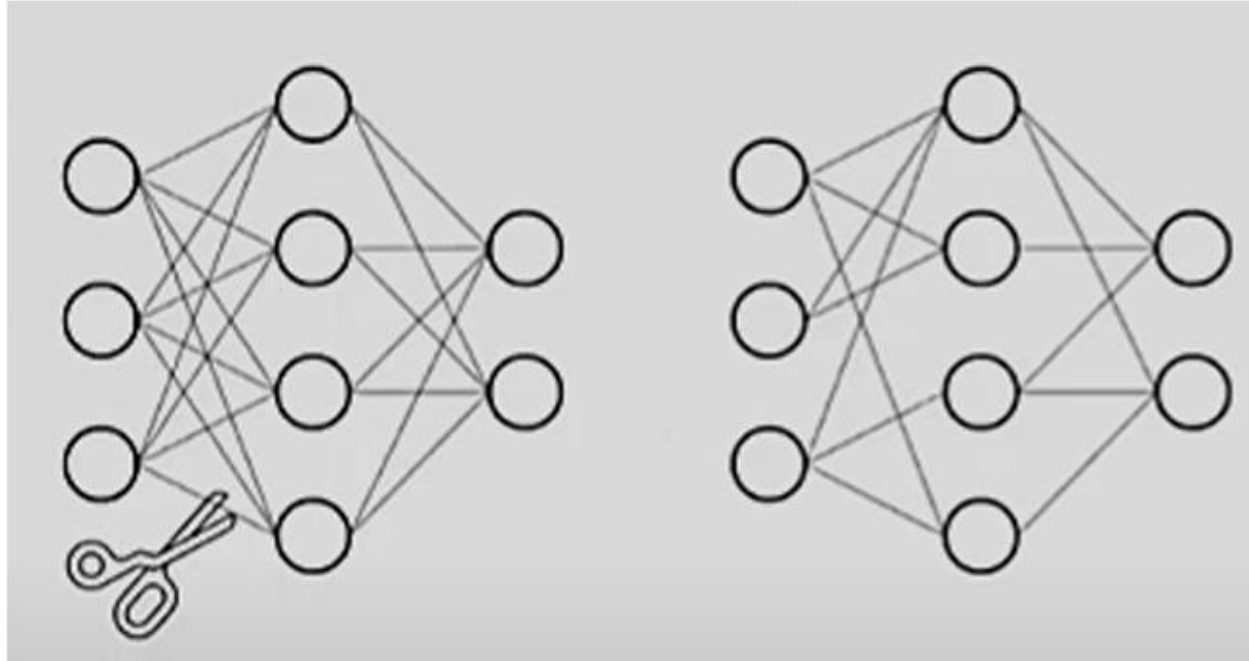
Figure 3: Test accuracy on Lenet (iterative pruning) as training proceeds. Each curve is the average of five trials. Labels are P_m —the fraction of weights remaining in the network after pruning. Error bars are the minimum and maximum of any trial.

- 51.3%, 21.12% es mayor que 100%, 3.6% es comparable con 100%.
- Winning ticket es mejor que la reinicializacion.

Lottery ticket hypothesis - limitaciones

- Solo se probaron bases de datos pequeñas.
- El podado iterativo es intensivo computacionalmente (alrededor de 15x).
- Para los métodos Structured pruning y non-magnitude pruning.
- Faltan estudios sobre las propiedades de las inicializaciones.

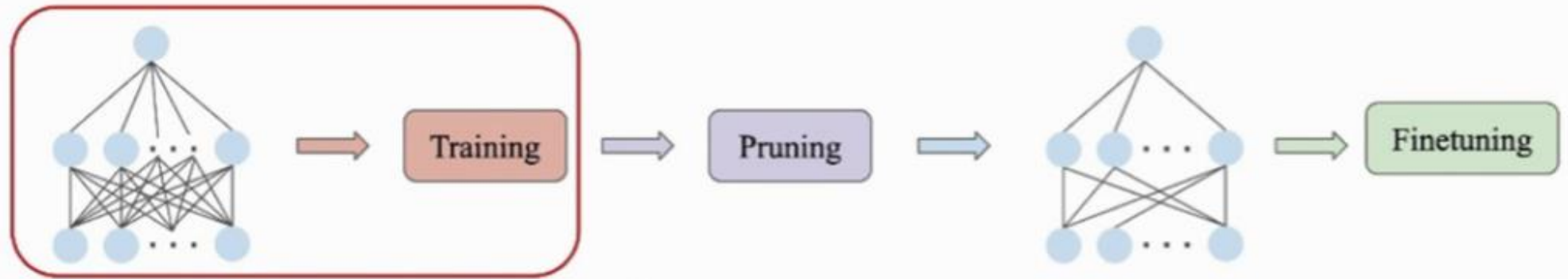
SNIP: Single-Shot Network Pruning Based On Connection Sensitivity



Namhoon Lee, Thalaiyasingam Ajanthan & Philip H. S. Torr
University of Oxford

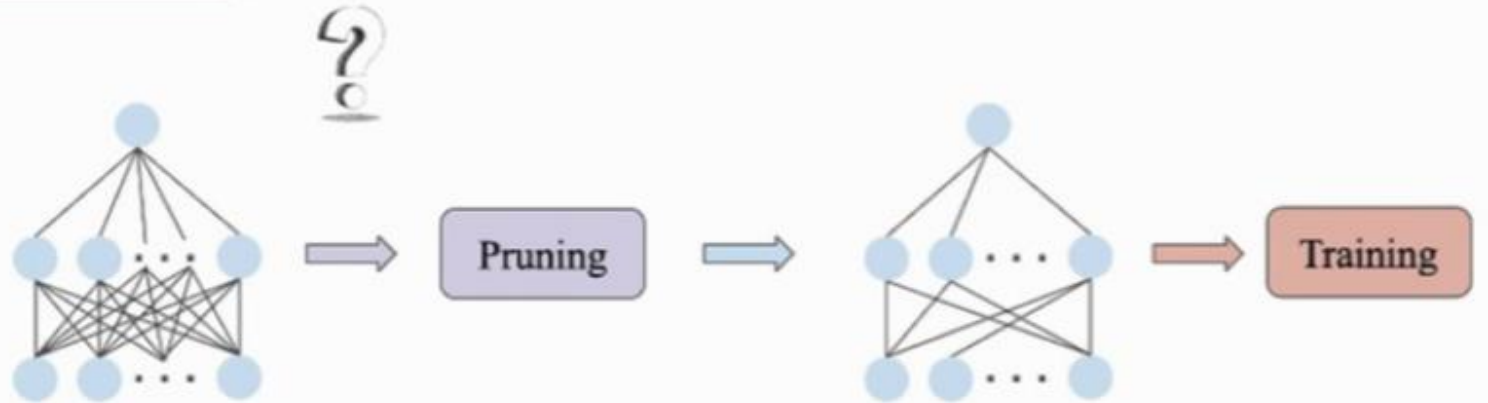
SNIP: Single-Shot Network Pruning Based On Connection Sensitivity

Traditional:



SNIP:

Is this possible?



- Metodos basados en el **destacamiento**: remover parámetros (conexiones) redundantes de la red neuronal de manera selectiva.

Sensibilidad de la conexión

- Esperamos podar la red antes del entrenamiento.
- Denotamos $c_j \in \{0,1\}$ como el indicador de la conexión

$$\begin{aligned} \min_{\mathbf{c}, \mathbf{w}} L(\mathbf{c} \odot \mathbf{w}; \mathcal{D}) &= \min_{\mathbf{c}, \mathbf{w}} \frac{1}{n} \sum_{i=1}^n \ell(\mathbf{c} \odot \mathbf{w}; (\mathbf{x}_i, \mathbf{y}_i)) , \\ \text{s.t. } \mathbf{w} &\in \mathbb{R}^m , \\ \mathbf{c} &\in \{0, 1\}^m, \quad \|\mathbf{c}\|_0 \leq \kappa , \end{aligned}$$

Sensibilidad de la conexión

- Nos enfocamos en la diferencia de la función objetivo cuando c_j se cambia, podemos determinar la importancia de la conexión.
- La conexión j está activa cuando $c_j = 1$; está podada cuando $c_j = 0$.
- Podemos medir el efecto de forma precisa con

$$\Delta L_j(\mathbf{w}; \mathcal{D}) = L(\mathbf{1} \odot \mathbf{w}; \mathcal{D}) - L((\mathbf{1} - \mathbf{e}_j) \odot \mathbf{w}; \mathcal{D})$$

- \mathbf{e}_j es un vector de ceros en todas partes, excepto en el índice j donde es 1.

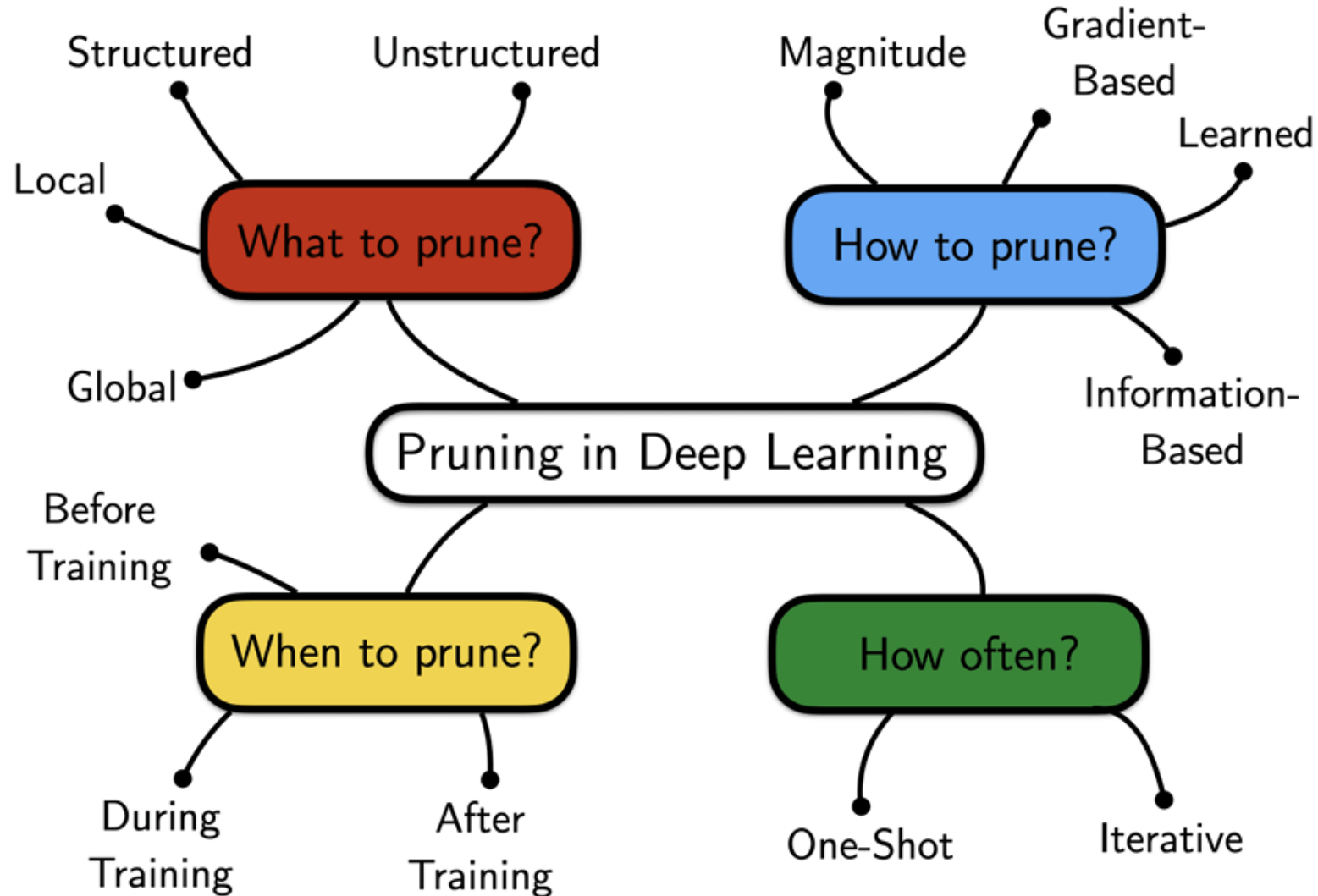
Sensibilidad de la conexión

$$\begin{aligned} \min_{\mathbf{c}, \mathbf{w}} L(\mathbf{c} \odot \mathbf{w}; \mathcal{D}) &= \min_{\mathbf{c}, \mathbf{w}} \frac{1}{n} \sum_{i=1}^n \ell(\mathbf{c} \odot \mathbf{w}; (\mathbf{x}_i, \mathbf{y}_i)) , \\ \text{s.t. } \mathbf{w} &\in \mathbb{R}^m , \\ \mathbf{c} &\in \{0, 1\}^m, \quad \|\mathbf{c}\|_0 \leq \kappa , \end{aligned}$$

- Debido que c_j es binario, no se puede diferenciar y es difícil de optimizar, podemos solucionar el problema relajándolo.

$$\Delta L_j(\mathbf{w}; \mathcal{D}) \approx g_j(\mathbf{w}; \mathcal{D}) = \left. \frac{\partial L(\mathbf{c} \odot \mathbf{w}; \mathcal{D})}{\partial c_j} \right|_{\mathbf{c}=\mathbf{1}} = \lim_{\delta \rightarrow 0} \left. \frac{L(\mathbf{c} \odot \mathbf{w}; \mathcal{D}) - L((\mathbf{c} - \delta \mathbf{e}_j) \odot \mathbf{w}; \mathcal{D})}{\delta} \right|_{\mathbf{c}=\mathbf{1}}$$

Resumen



Documentación y ejemplos

https://pytorch.org/tutorials/intermediate/pruning_tutorial.html

<https://intellabs.github.io/distiller/pruning.html>

https://colab.research.google.com/github/pytorch/tutorials/blob/gh-pages/_downloads/f40ae04715cdb214ecba048c12f8dddf/pruning_tutorial.ipynb

https://colab.research.google.com/github/tensorflow/model-optimization/blob/master/tensorflow_model_optimization/g3doc/guide/pruning/pruning_with_keras.ipynb

https://colab.research.google.com/github/matthew-mcateer/Keras_pruning/blob/master/Model_pruning_exploration.ipynb

https://colab.research.google.com/github/sayakpaul/Adventures-in-TensorFlow-Lite/blob/master/Model_Pruning_in_Deep_Learning_with_tfmot.ipynb



Institución
Universitaria
Reacreditada en Alta Calidad

¡Gracias!

Somos Innovación Tecnológica con *Sentido Humano*



Alcaldía de Medellín

Sensibilidad de la conexión

$$\Delta L_j(\mathbf{w}; \mathcal{D}) \approx g_j(\mathbf{w}; \mathcal{D}) = \left. \frac{\partial L(\mathbf{c} \odot \mathbf{w}; \mathcal{D})}{\partial c_j} \right|_{\mathbf{c}=\mathbf{1}}$$

- Debido que c_j es binario, no se puede diferenciar y es difícil de optimizar, podemos solucionar el problema relajándolo.

Bibliografía

1. Schizas, N.; Karras, A.; Karras, C.; Sioutas, S. *TinyML for Ultra-Low Power AI and Large Scale IoT Deployments: A Systematic Review*. *Future Internet* **2022**, *14*, 363. <https://doi.org/10.3390/fi14120363>
2. Atul K. Gupta and Dr. Siva P. Nandyala. *Deep Learning on Microcontrollers: Learn how to develop embedded AI applications using TinyML*. 2023. ISBN 978-93-55518-057.